

Structures de Poisson sur les Coisotropes 1-Décalés

Yassine Ait Mohamed

Université de Sherbrooke



Travail en collaboration avec Maxence Mayrand

① Introduction : Quantification par déformation

- 1 Introduction : Quantification par déformation**
- 2 Structures géométriques de base**

- ① Introduction : Quantification par déformation**
- ② Structures géométriques de base**
- ③ Résultats récents sur structures de Poisson
sur les 1-coisotropes décalées**

- ① **Introduction : Quantification par déformation**
- ② **Structures géométriques de base**
- ③ **Résultats récents sur structures de Poisson
sur les 1-coisotropes décalées**
- ④ **Perspectives : Structures P_∞**

Mécanique Classique vs Mécanique Quantique

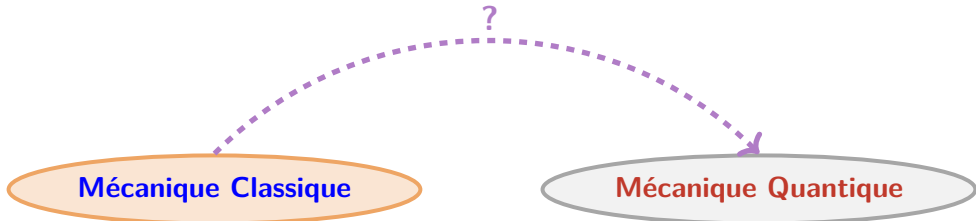
Mécanique Classique

Mécanique Classique vs Mécanique Quantique

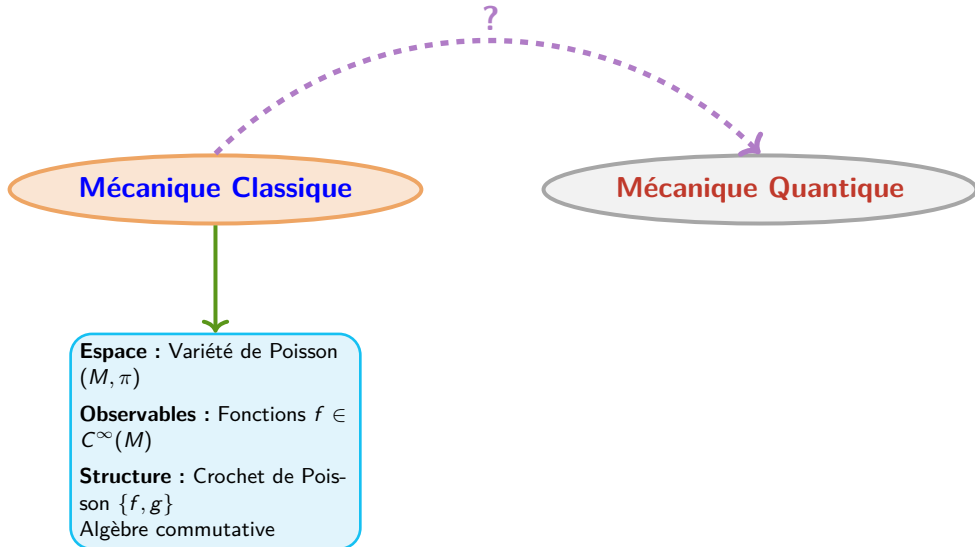
Mécanique Classique

Mécanique Quantique

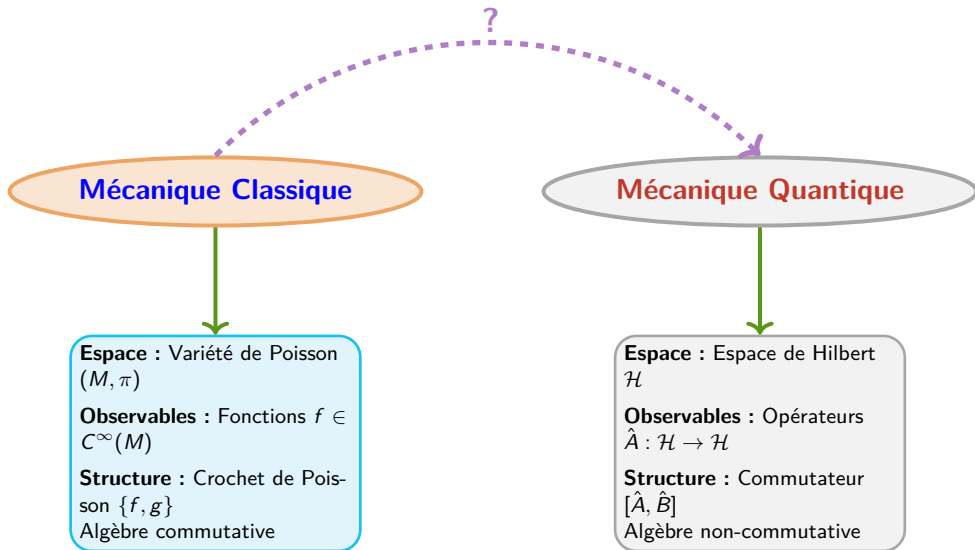
Mécanique Classique vs Mécanique Quantique



Mécanique Classique vs Mécanique Quantique



Mécanique Classique vs Mécanique Quantique



Comment quantifier ?

Comment quantifier ?



Approche Mathématique

Correspondance :

$$Q : C^\infty(M) \rightarrow \text{Op}(\mathcal{H})$$

avec propriétés algébriques

Comment quantifier ?

Approche Mathématique

Correspondance :

$$Q : C^\infty(M) \rightarrow \text{Op}(\mathcal{H})$$

avec propriétés algébriques

Approche Physique

Passage :

Classique (déterministe)



Quantique (probabiliste)

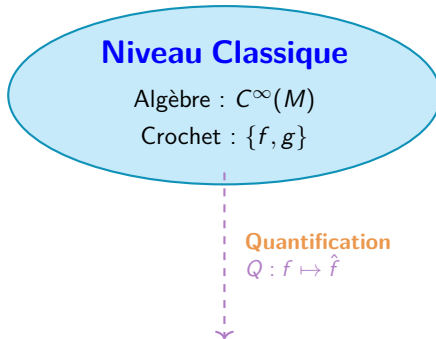
La correspondance de quantification

Niveau Classique

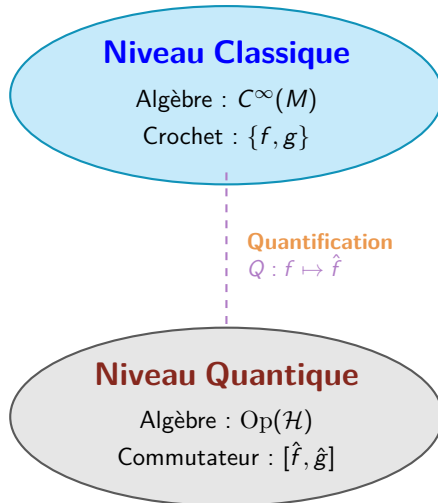
Algèbre : $C^\infty(M)$

Crochet : $\{f, g\}$

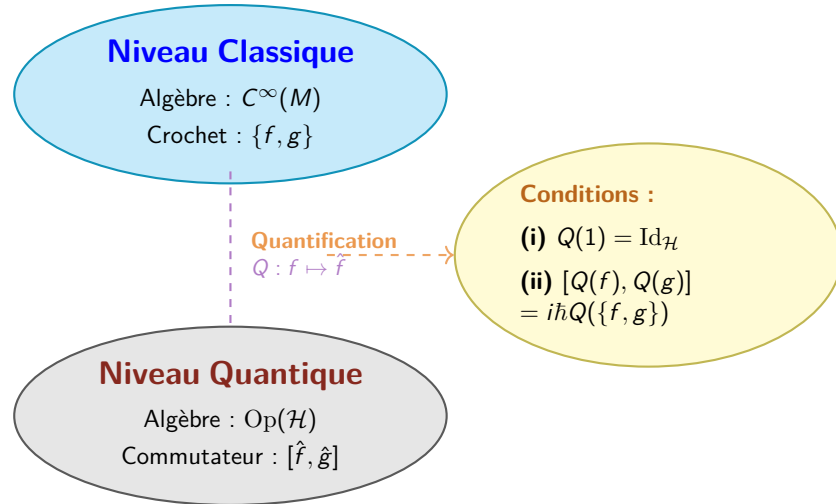
La correspondance de quantification



La correspondance de quantification



La correspondance de quantification



1978

Bayen, Flato, Fronsdal,
Lichnerowicz, Sternheimer

Deformation theory and quantization

1978

Bayen, Flato, Fronsdal,
Lichnerowicz, Sternheimer

Deformation theory and quantization



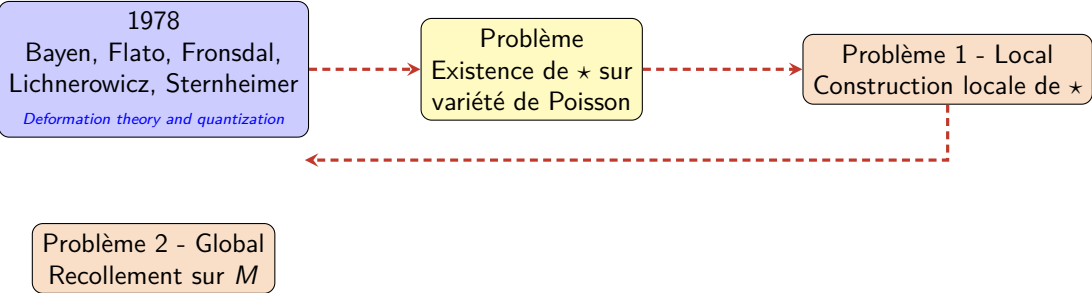
Problème
Existence de \star sur
variété de Poisson

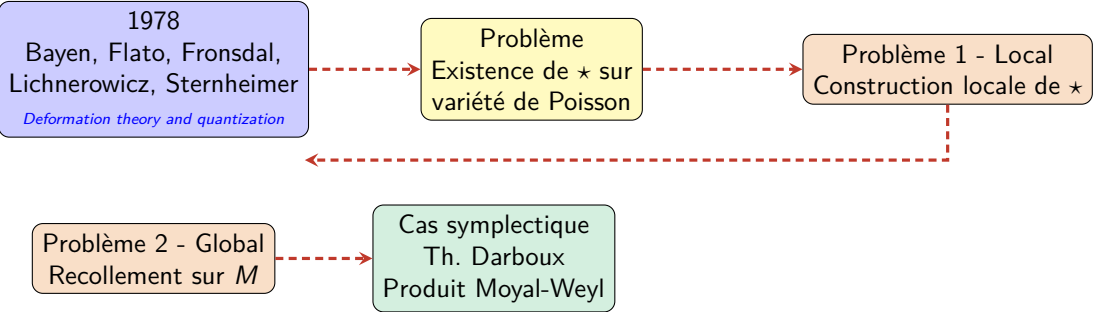
1978

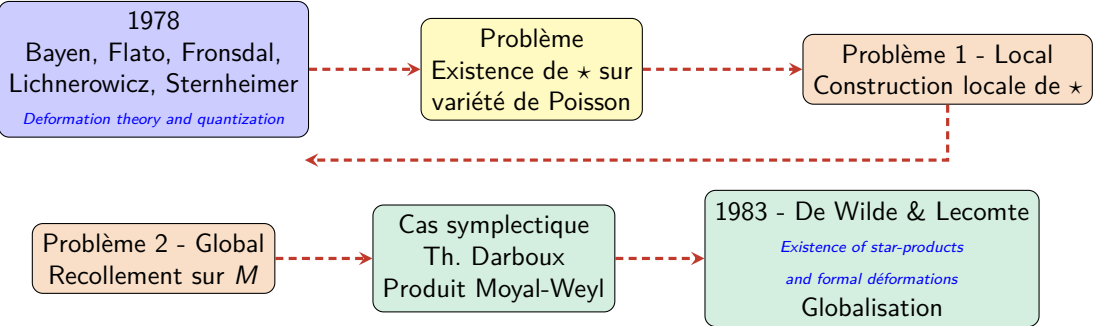
Bayen, Flato, Fronsdal,
Lichnerowicz, Sternheimer

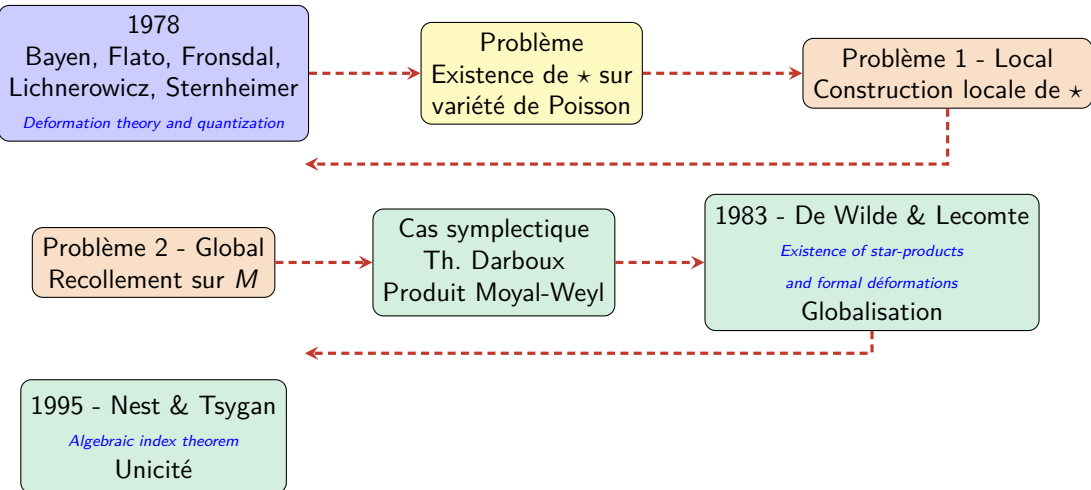
Deformation theory and quantization

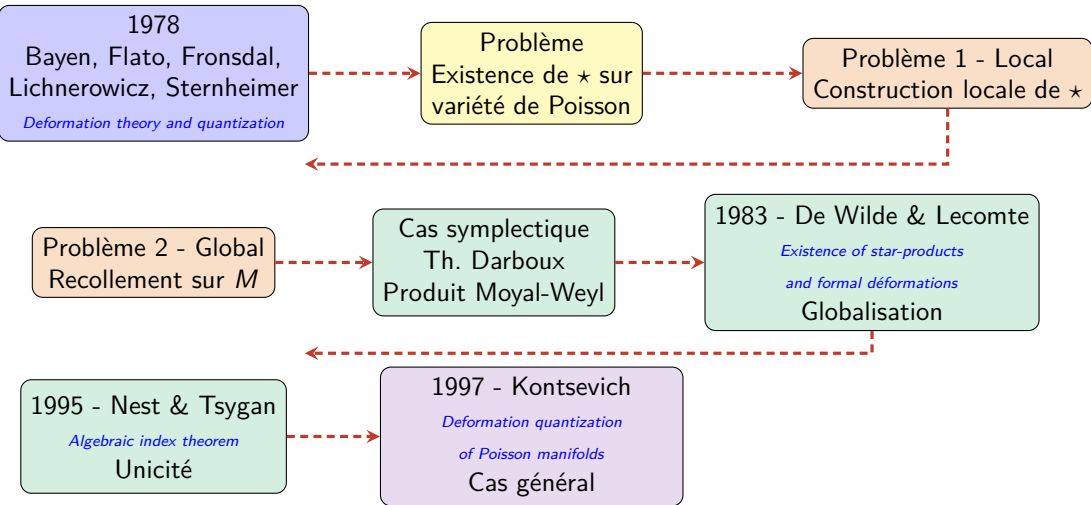








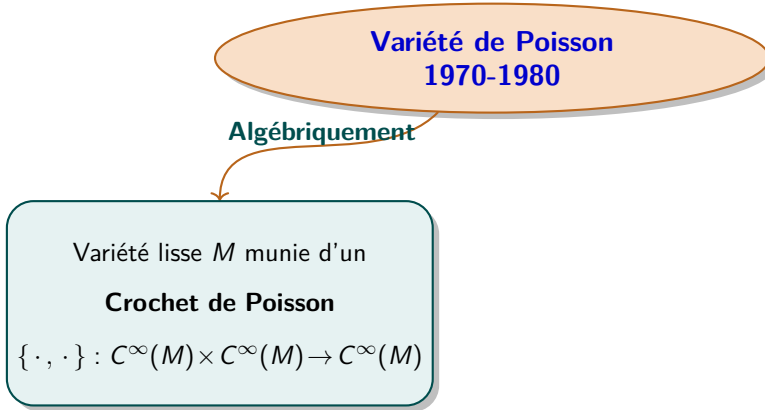




Variété de Poisson : deux points de vue

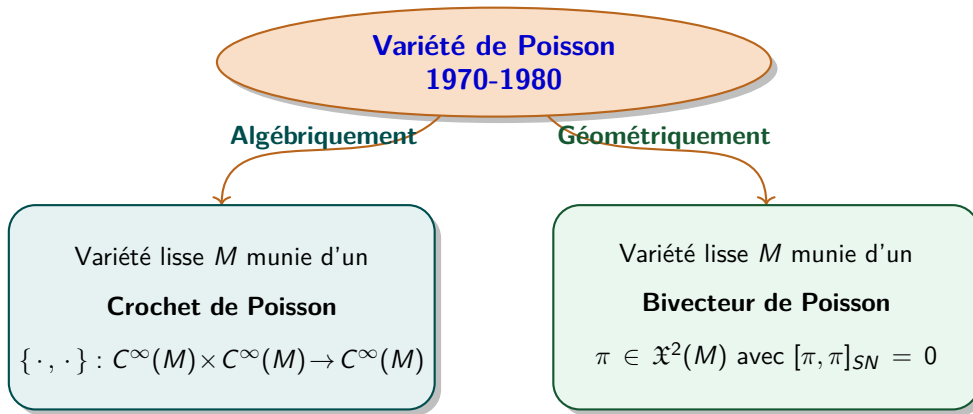
**Variété de Poisson
1970-1980**

Variété de Poisson : deux points de vue



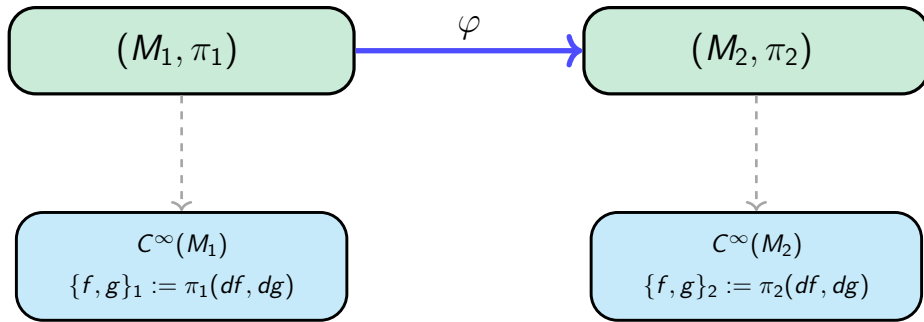
(Siméon Denis Poisson, 1809)

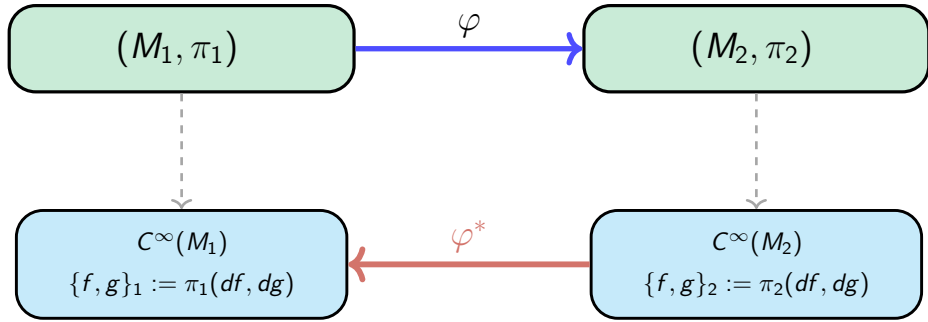
Variété de Poisson : deux points de vue

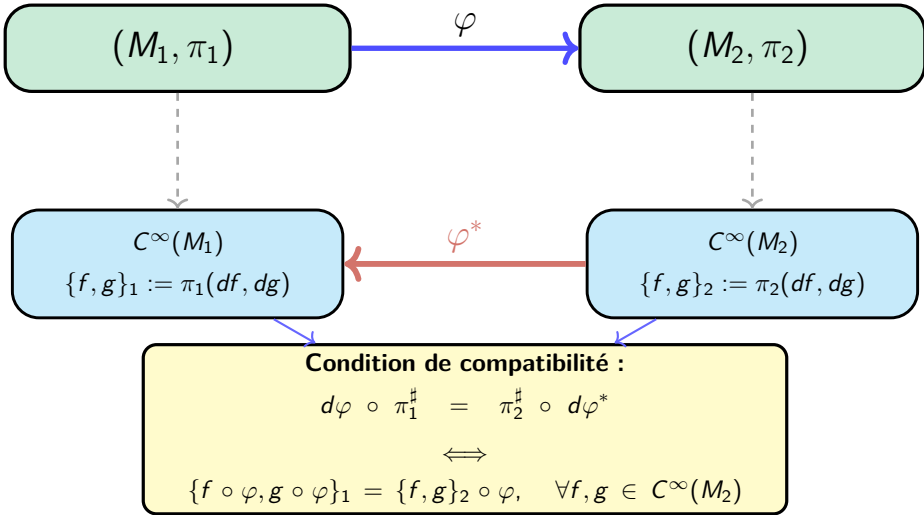


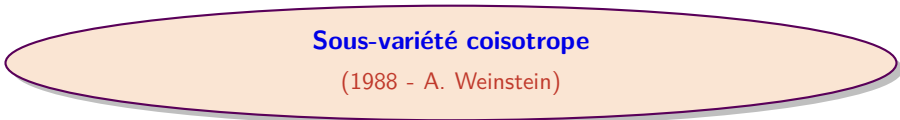
(Siméon Denis Poisson, 1809)











Sous-variété coisotrope
(1988 - A. Weinstein)

Sous-variété coisotrope

(1988 - A. Weinstein)

approche algébrique

Idéal $I_C \subset C^\infty(M)$ tel que

$\{I_C, I_C\} \subset I_C$, où

$$I_C := \{f \in C^\infty(M) : f|_C = 0\}$$

Sous-variété coisotrope

(1988 - A. Weinstein)

approche algébrique

Idéal $I_C \subset C^\infty(M)$ tel que

$\{I_C, I_C\} \subset I_C$, où

$$I_C := \{f \in C^\infty(M) : f|_C = 0\}$$

approche géométrique

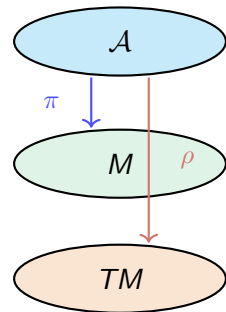
Sous-variété $C \subset M$ telle que

$$\pi^\sharp(N^*C) \subset TC$$

$$\text{où } N^*C := (TC)^0 \subset T^*M|_C$$

Algébroïde de Lie

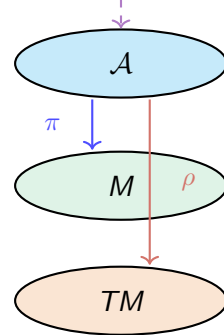
$\mathcal{A} \Rightarrow M$ Jean Pradines (1967)



Algébroïde de Lie

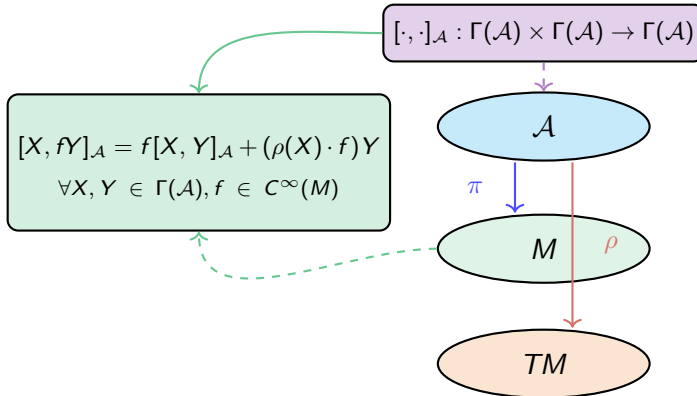
$\mathcal{A} \Rightarrow M$ Jean Pradines (1967)

$$[\cdot, \cdot]_{\mathcal{A}} : \Gamma(\mathcal{A}) \times \Gamma(\mathcal{A}) \rightarrow \Gamma(\mathcal{A})$$



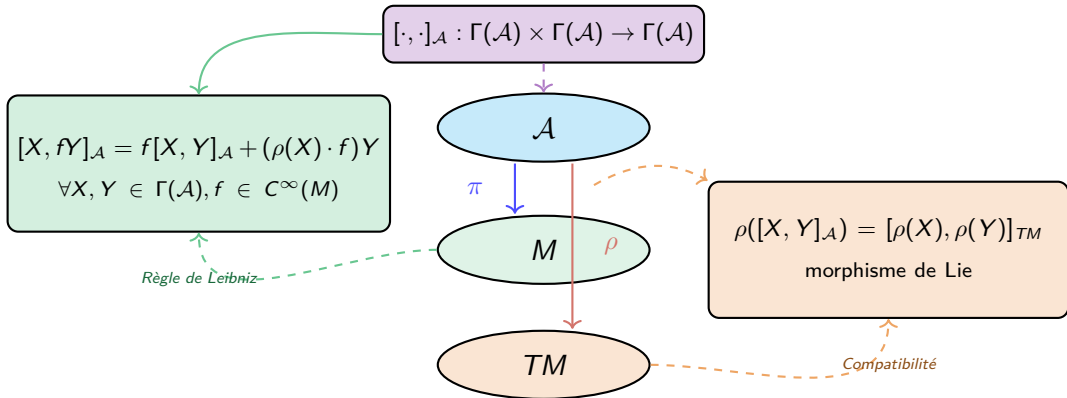
Algébroïde de Lie

$\mathcal{A} \Rightarrow M$ Jean Pradines (1967)



Algébroïde de Lie

$\mathcal{A} \Rightarrow M$ Jean Pradines (1967)



Groupoïde de Lie

$\mathcal{G} \rightrightarrows M$ **Charles Ehresmann (1959)**

Groupoïde de Lie

$\mathcal{G} \rightrightarrows M$ **Charles Ehresmann (1959)**

\mathcal{G} espace des flèches

Groupoïde de Lie

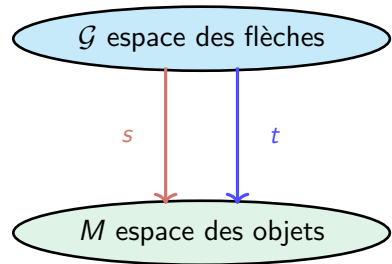
$\mathcal{G} \rightrightarrows M$ **Charles Ehresmann (1959)**

\mathcal{G} espace des flèches

M espace des objets

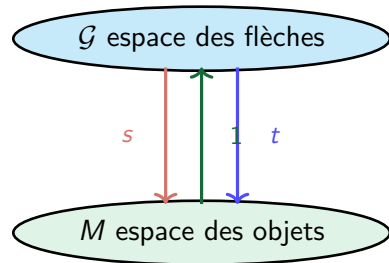
Groupoïde de Lie

$\mathcal{G} \rightrightarrows M$ Charles Ehresmann (1959)



Groupoïde de Lie

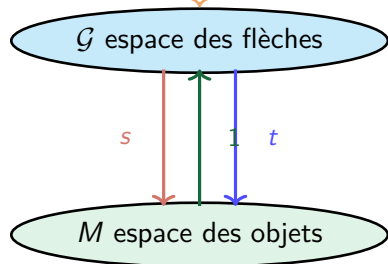
$\mathcal{G} \rightrightarrows M$ Charles Ehresmann (1959)



Groupoïde de Lie

$\mathcal{G} \rightrightarrows M$ Charles Ehresmann (1959)

$$m : \mathcal{G}^{(2)} \rightarrow \mathcal{G}, \quad (g, h) \mapsto gh$$

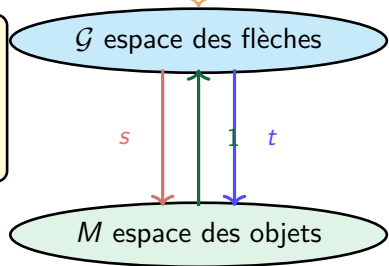


Groupoïde de Lie

$\mathcal{G} \rightrightarrows M$ Charles Ehresmann (1959)

$$m : \mathcal{G}^{(2)} \rightarrow \mathcal{G}, (g, h) \mapsto gh$$

$$\begin{aligned} g(hk) &= (gh)k \\ g1_{s(g)} &= g, 1_{t(g)}g = g \\ g^{-1}g &= 1_{s(g)}, \\ gg^{-1} &= 1_{t(g)} \end{aligned}$$

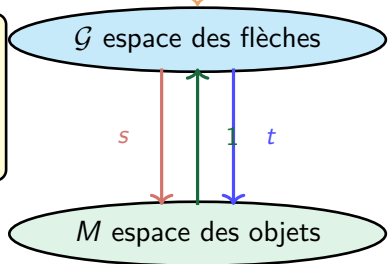


Groupoïde de Lie

$\mathcal{G} \rightrightarrows M$ Charles Ehresmann (1959)

$$m : \mathcal{G}^{(2)} \rightarrow \mathcal{G}, (g, h) \mapsto gh$$

$$\begin{aligned} g(hk) &= (gh)k \\ g1_{s(g)} &= g, 1_{t(g)}g = g \\ g^{-1}g &= 1_{s(g)}, \\ gg^{-1} &= 1_{t(g)} \end{aligned}$$



s, t sont des submersions et i est un plongement
 $m, i, 1, (s, t)$ sont des applications lisses

Groupoïde de Lie

$\mathcal{G} \rightrightarrows M$ Charles Ehresmann (1959)

$$m : \mathcal{G}^{(2)} \rightarrow \mathcal{G}, (g, h) \mapsto gh$$

$$g(hk) = (gh)k$$

$$\begin{aligned} g1_{s(g)} &= g, 1_{t(g)}g = g \\ g^{-1}g &= 1_{s(g)}, \\ gg^{-1} &= 1_{t(g)} \end{aligned}$$

\mathcal{G} espace des flèches

M espace des objets

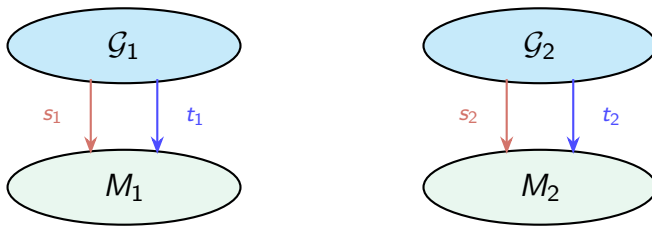
s

t

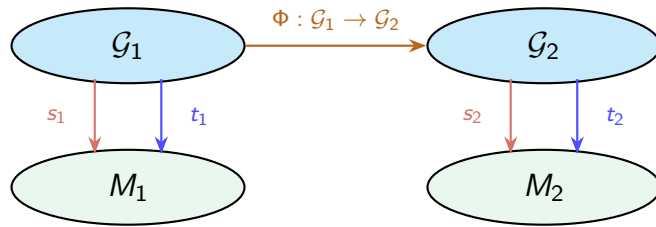
Inversion :
 $i : \mathcal{G} \rightarrow \mathcal{G}, g \mapsto g^{-1}$

s, t sont des submersions et 1 est un plongement
 $m, i, 1, (s, t)$ sont des applications lisses

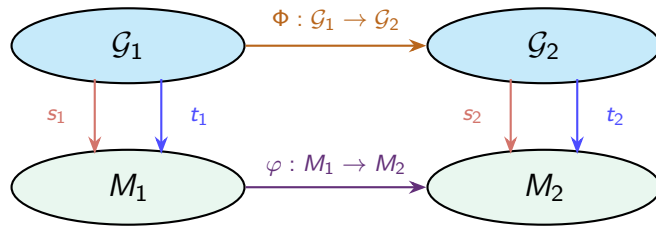
Morphismes de groupoïdes de Lie



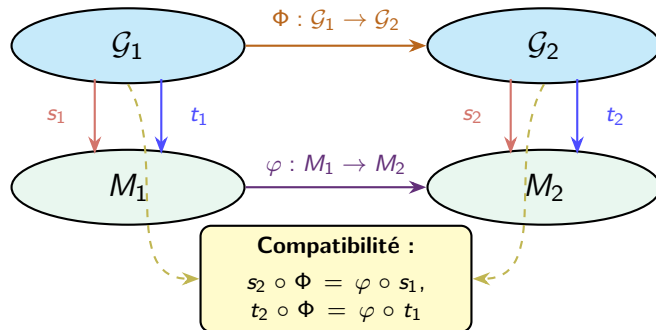
Morphismes de groupoïdes de Lie



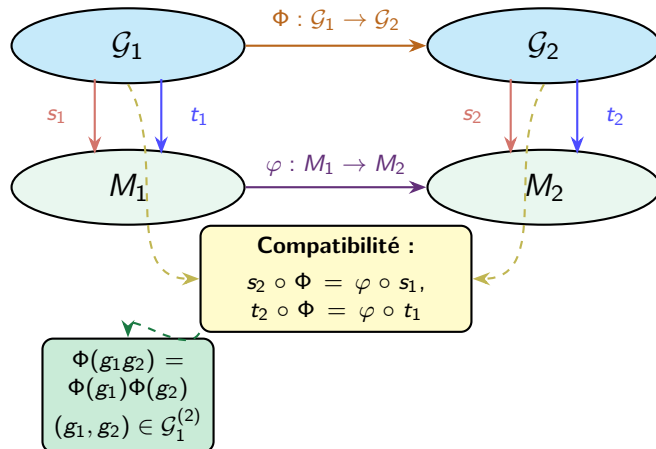
Morphismes de groupoïdes de Lie



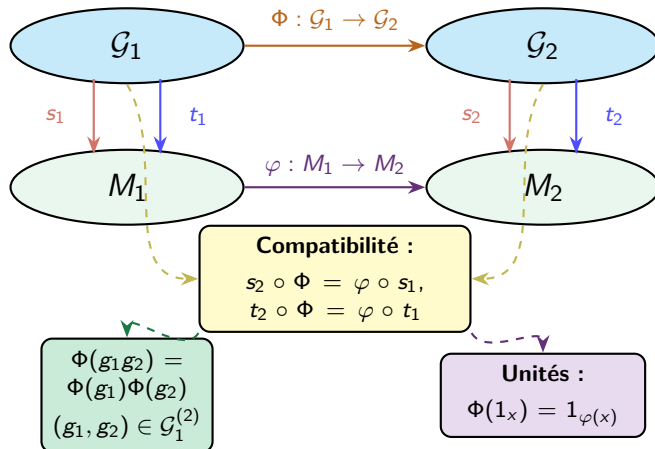
Morphismes de groupoïdes de Lie



Morphismes de groupoïdes de Lie



Morphismes de groupoïdes de Lie



Intégration d'un algébroïde de Lie

Algébroïde de Lie

$\mathcal{A} \Rightarrow M$

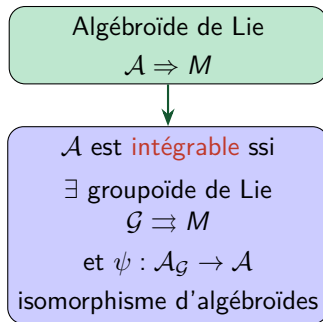
Attention

Il existe des algébroïdes de Lie qui ne sont **pas intégrables**. [Crainic & Fernandes](#)

Integrability of Lie brackets

Ann. of Math. (2003)

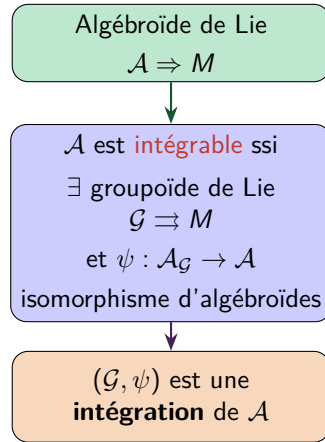
Intégration d'un algébroïde de Lie



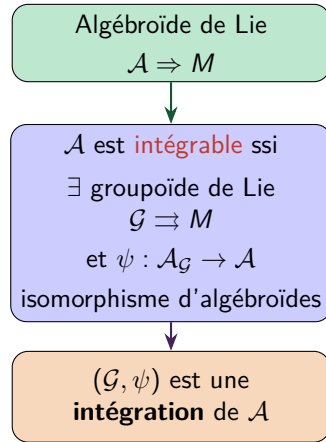
Attention

Il existe des algébroïdes de Lie qui ne sont **pas intégrables**. **Crainic & Fernandes**
Integrability of Lie brackets
Ann. of Math. (2003)

Intégration d'un algébroïde de Lie



Intégration d'un algébroïde de Lie



Attention

Il existe des algébroïdes de Lie qui ne sont **pas intégrables**. [Crainic & Fernandes](#)

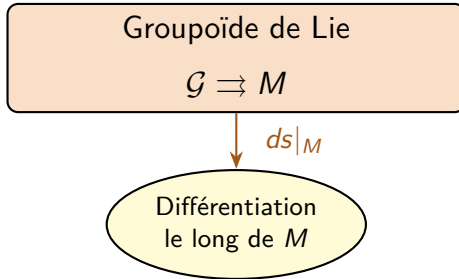
Integrability of Lie brackets
Ann. of Math. (2003)

Algébroïde de Lie associé à un groupoïde de Lie

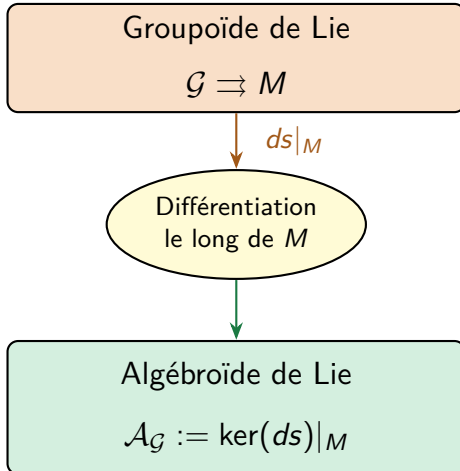
Groupoïde de Lie

$$\mathcal{G} \rightrightarrows M$$

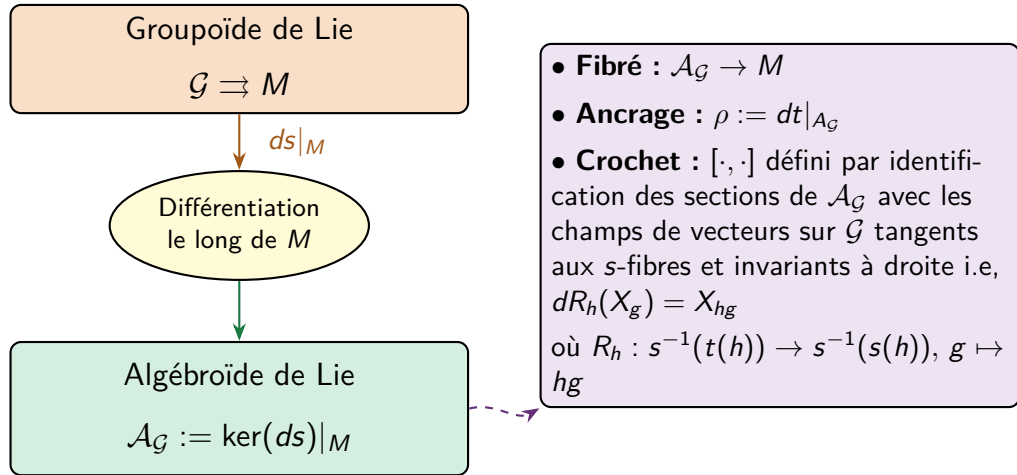
Algébroïde de Lie associé à un groupoïde de Lie



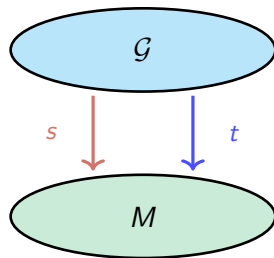
Algébroïde de Lie associé à un groupoïde de Lie



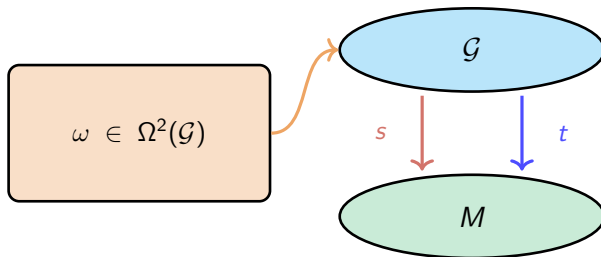
Algébroïde de Lie associé à un groupoïde de Lie



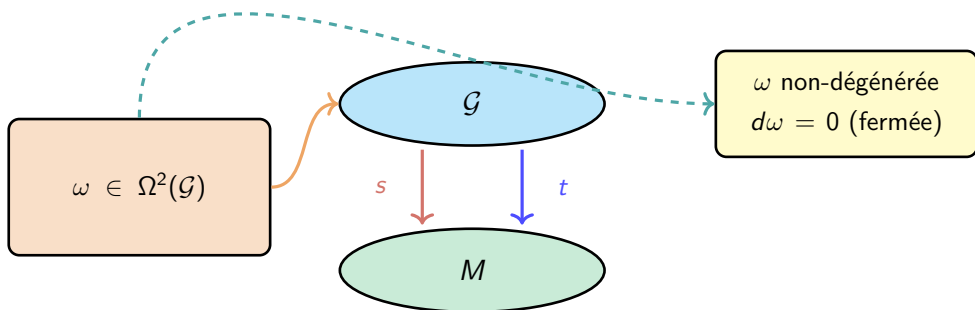
Groupoïde symplectique $(\mathcal{G} \rightrightarrows M, \omega)$



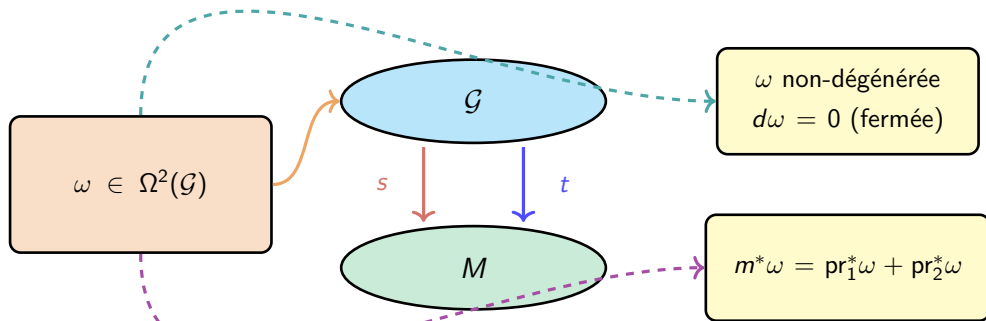
Groupoïde symplectique $(\mathcal{G} \rightrightarrows M, \omega)$



Groupoïde symplectique $(\mathcal{G} \rightrightarrows M, \omega)$



Groupoïde symplectique $(\mathcal{G} \rightrightarrows M, \omega)$

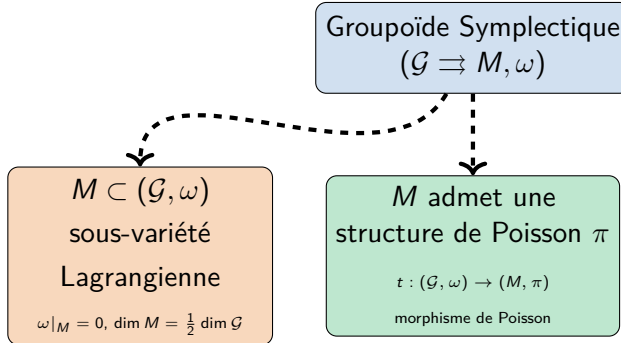


Weinstein (1987) *Symplectic groupoids and Poisson manifolds*

Groupoïde Symplectique
 $(\mathcal{G} \rightrightarrows M, \omega)$

Groupoïde Symplectique
 $(\mathcal{G} \rightrightarrows M, \omega)$

$M \subset (\mathcal{G}, \omega)$
sous-variété
Lagrangienne
 $\omega|_M = 0, \dim M = \frac{1}{2} \dim \mathcal{G}$



Groupoïde Symplectique $(\mathcal{G} \rightrightarrows M, \omega)$

$M \subset (\mathcal{G}, \omega)$
sous-variété
Lagrangienne

$\omega|_M = 0$, $\dim M = \frac{1}{2} \dim \mathcal{G}$

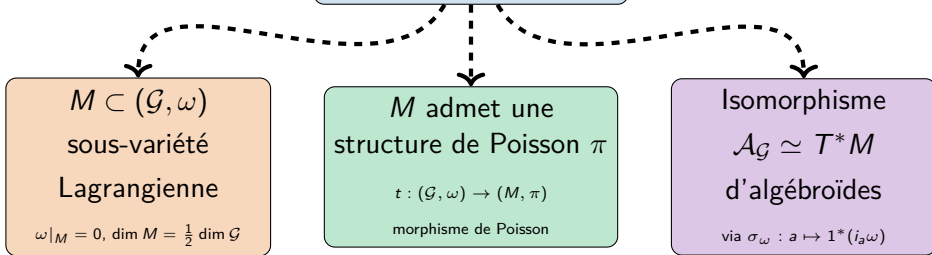
M admet une
structure de Poisson π

$t : (\mathcal{G}, \omega) \rightarrow (M, \pi)$
morphisme de Poisson

Isomorphisme
 $\mathcal{A}_{\mathcal{G}} \simeq T^*M$
d'algébroïdes

via $\sigma_{\omega} : a \mapsto 1^*(i_a \omega)$

Groupoïde Symplectique $(\mathcal{G} \rightrightarrows M, \omega)$



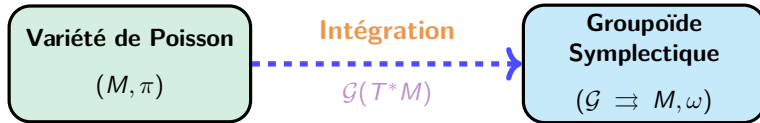
T^*M est **intégrable** comme algébroïde de Lie
et \mathcal{G} est son intégration symplectique

Intégration des Variétés de Poisson

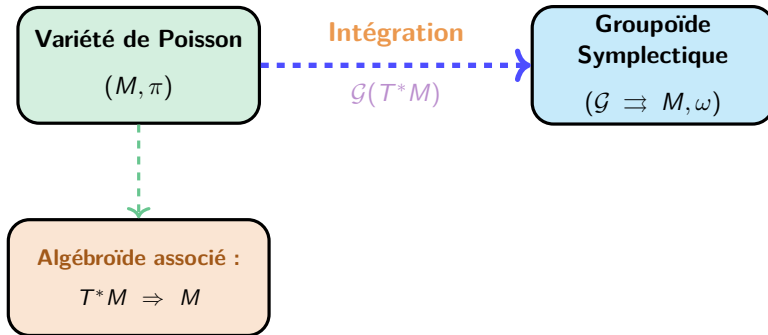
Variété de Poisson

(M, π)

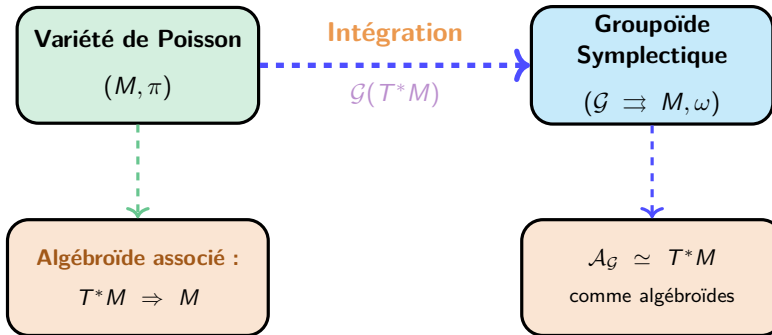
Intégration des Variétés de Poisson



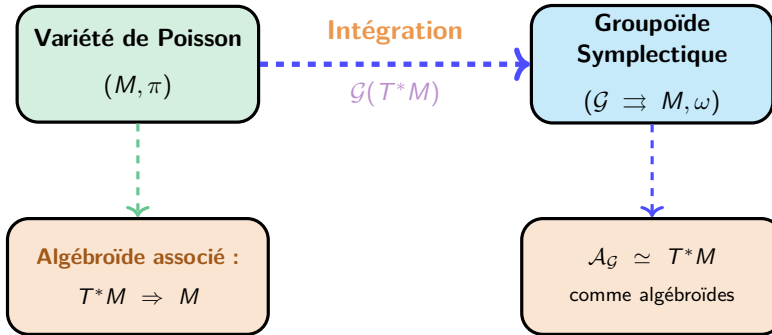
Intégration des Variétés de Poisson



Intégration des Variétés de Poisson



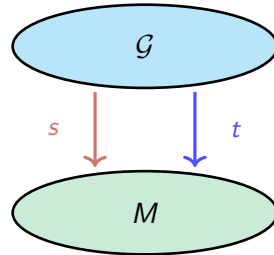
Intégration des Variétés de Poisson



Théorème (Kirill C. H. Mackenzie, Ping Xu)

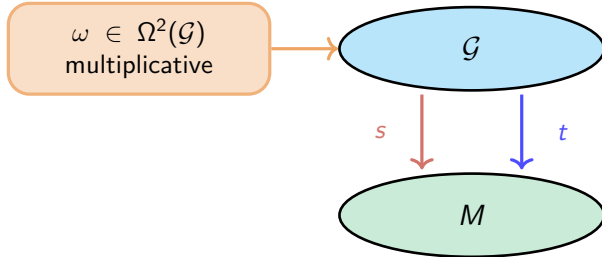
Toute variété de Poisson (M, π) intégrable admet un **groupoïde symplectique s-simplement connexe unique**

Groupoïde Quasi-Symplectique



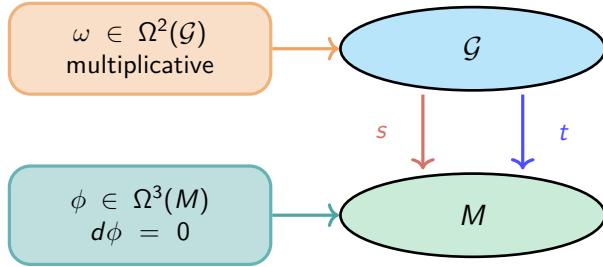
Ping Xu – Momentum maps and Morita equivalence (2004)

Groupoïde Quasi-Symplectique



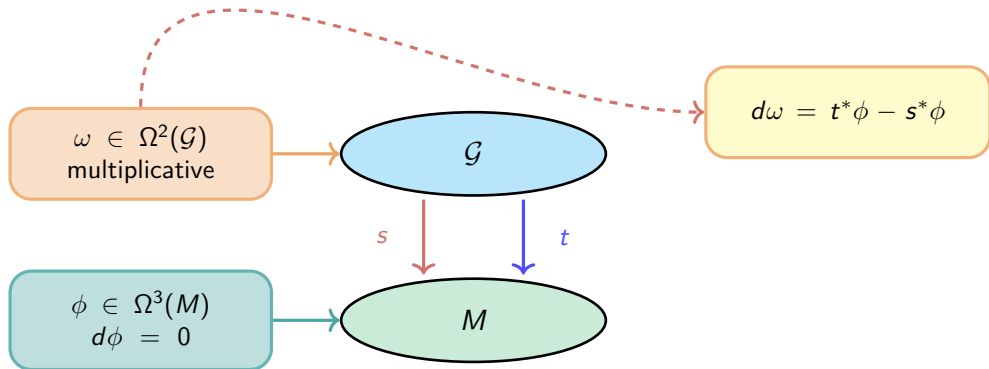
Ping Xu – Momentum maps and Morita equivalence (2004)

Groupoïde Quasi-Symplectique



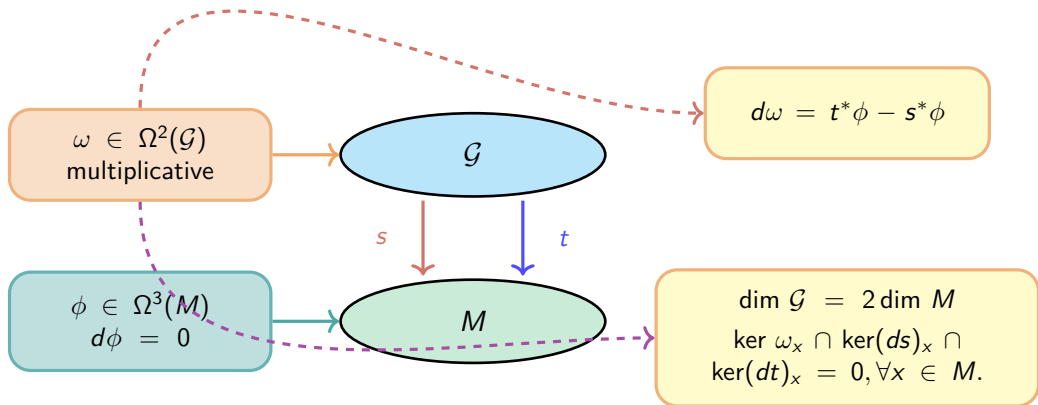
Ping Xu – Momentum maps and Morita equivalence (2004)

Groupoïde Quasi-Symplectique



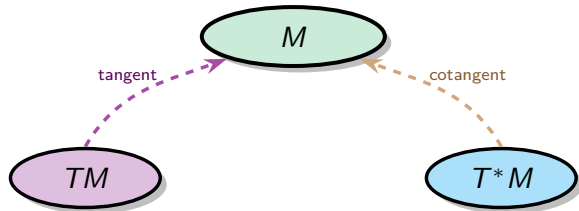
Ping Xu – Momentum maps and Morita equivalence (2004)

Groupoïde Quasi-Symplectique

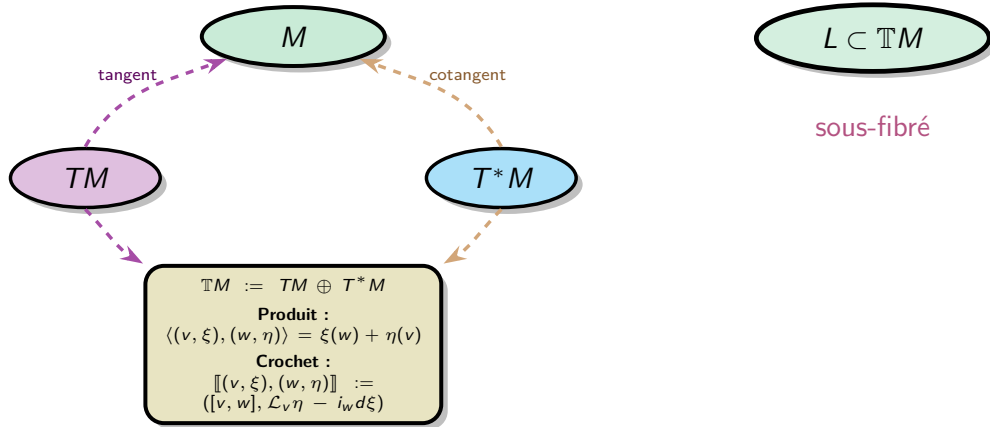


Ping Xu – Momentum maps and Morita equivalence (2004)

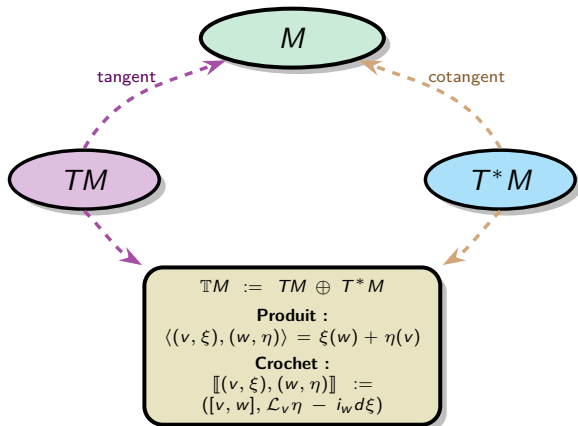
Structure de Dirac sur une Variété



Structure de Dirac sur une Variété



Structure de Dirac sur une Variété



Structure de Dirac :

L sous-fibré vérifiant :

- **Maximalemen**t isotrope :

$$\dim L = \dim M$$

$$L = L^\perp \text{ pour}$$

$\langle \cdot, \cdot \rangle$ (L est dit un sous fibré Lagrangien)

- **Involutif** :

$\Gamma(L)$ fermé par le crochet de Courant

Structure de Dirac Tordue

Crochet tordu par $\phi \in \Omega^3(M)$

$$[(v, \xi), (w, \eta)]_\phi := ([v, w], \mathcal{L}_v \eta - i_w d\xi + i_w i_v \phi)$$

$L \subset TM$

sous-fibré Lagrangien

fermé par $[\cdot, \cdot]_\phi$

Structure
de Dirac
tordue par ϕ

Structure de Dirac Tordue Induite

$(\mathcal{G} \rightrightarrows M, \omega, \phi)$

groupoïde quasi-symplectique

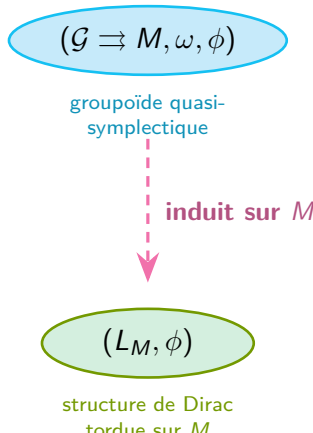


induit sur M

(L_M, ϕ)

structure de Dirac
tordue sur M

Structure de Dirac Tordue Induite



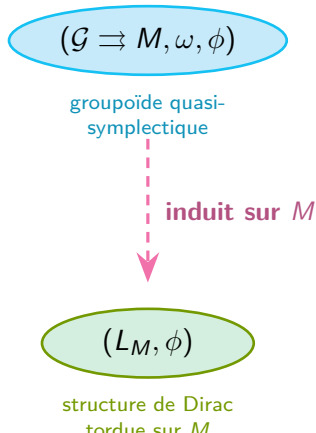
Structure induite

$$L_M \subset \mathbb{T}M = TM \oplus T^*M$$

$$L_M := \text{im}(\rho_{\mathcal{G}}, \sigma_{\omega})$$

$$= \{(\rho_{\mathcal{G}}(a), \sigma_{\omega}(a)) \mid a \in A_{\mathcal{G}}\}$$

Structure de Dirac Tordue Induite



Structure induite

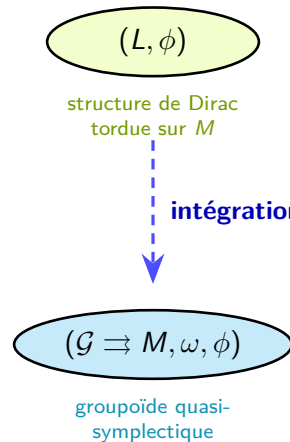
$$L_M \subset \mathbb{T}M = TM \oplus T^*M$$

$$L_M := \text{im}(\rho_{\mathcal{G}}, \sigma_{\omega})$$

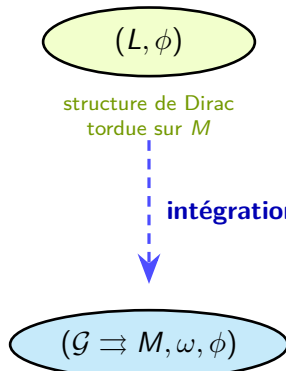
$$= \{(\rho_{\mathcal{G}}(a), \sigma_{\omega}(a)) \mid a \in A_{\mathcal{G}}\}$$

[Henrique Bursztyn et al. Théorème 2.2 *Integration of Twisted Dirac Brackets*]

Intégration d'une structure de Dirac Tordue



Intégration d'une structure de Dirac Tordue

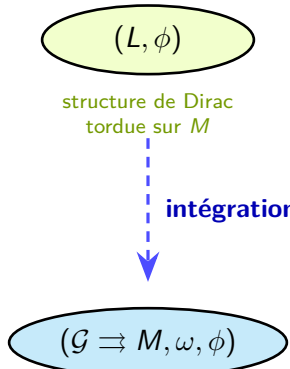


Construction

Donnée : (L, ϕ)

Étapes :

Intégration d'une structure de Dirac Tordue



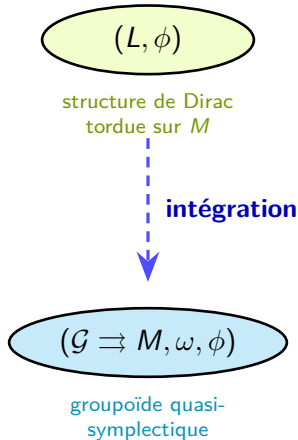
Construction

Donnée : (L, ϕ)

Étapes :

- 1 Intégrer l'algébroïde de Lie $A = \text{pr}_{TM}(L)$ en groupoïde $\mathcal{G} \rightrightarrows M$

Intégration d'une structure de Dirac Tordue



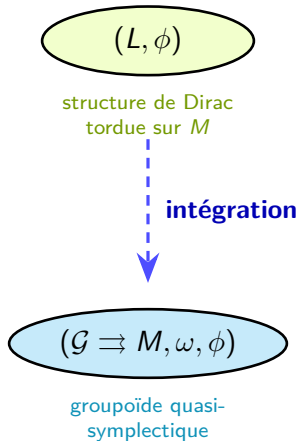
Construction

Donnée : (L, ϕ)

Étapes :

- ① Intégrer l'algébroïde de Lie $A = \text{pr}_{TM}(L)$ en groupoïde $\mathcal{G} \rightrightarrows M$
- ② Construire $\omega \in \Omega^2(\mathcal{G})$ multiplicative telle que :
 - $d\omega = s^*\phi - t^*\phi$
 - $L = \text{im}(\rho_{\mathcal{G}}, \sigma_{\omega})$

Intégration d'une structure de Dirac Tordue



Construction

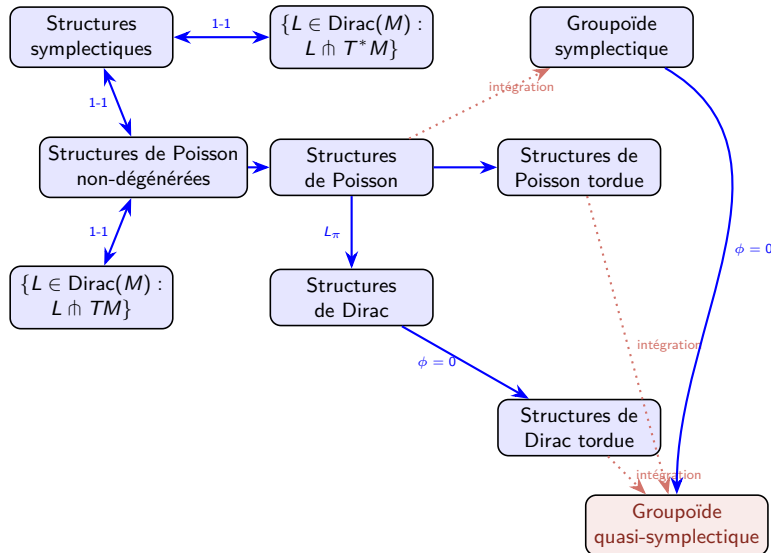
Donnée : (L, ϕ)

Étapes :

- ① Intégrer l'algébroïde de Lie $A = \text{pr}_{TM}(L)$ en groupoïde $\mathcal{G} \rightrightarrows M$
- ② Construire $\omega \in \Omega^2(\mathcal{G})$ multiplicative telle que :
 - $d\omega = s^*\phi - t^*\phi$
 - $L = \text{im}(\rho_{\mathcal{G}}, \sigma_{\omega})$

[Henrique Bursztyn et al. Théorème 2.4 *Integration of Twisted Dirac Brackets*]

Relations entre les structures

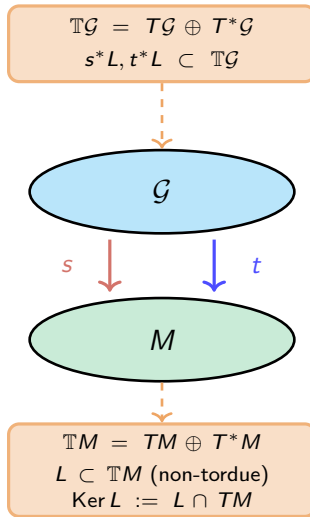


Structure de Poisson sur

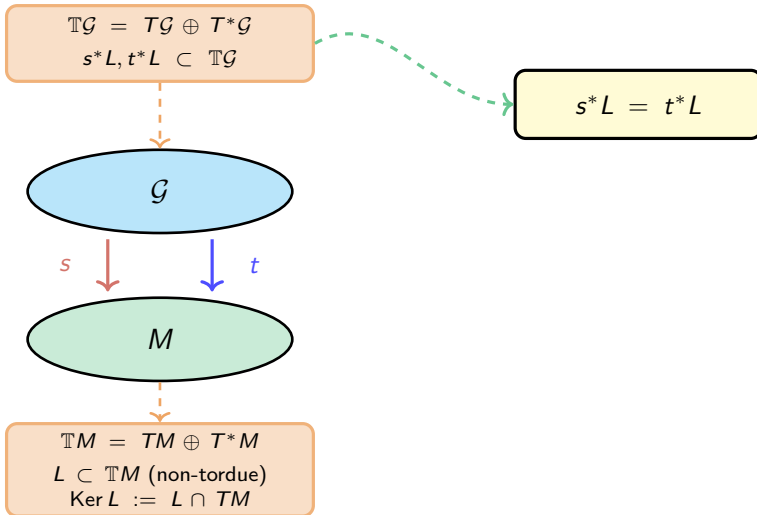
$$(\mathcal{G} \rightrightarrows M, L)$$

0-shifted Poisson structure

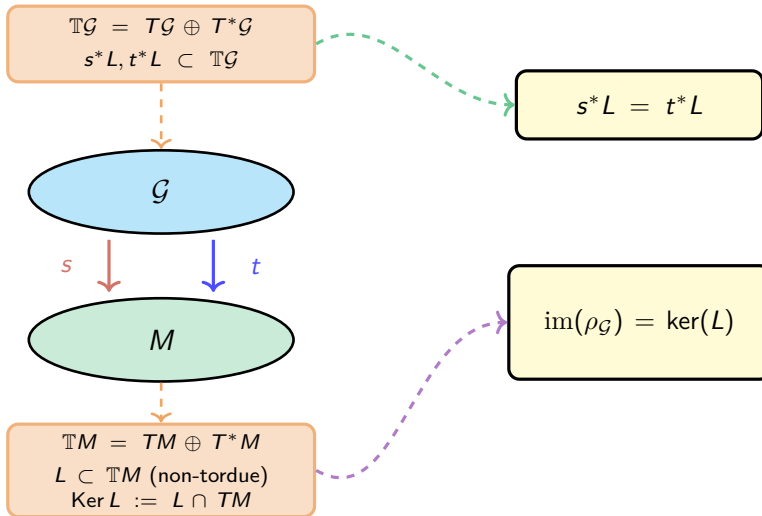
Structure de Poisson sur $(\mathcal{G} \rightrightarrows M, L)$



Structure de Poisson sur $(\mathcal{G} \rightrightarrows M, L)$



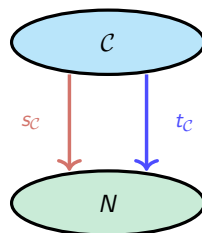
Structure de Poisson sur $(\mathcal{G} \rightrightarrows M, L)$



*Structure de Poisson sur
1-coisotrope décalé*

$$c : (\mathcal{C} \rightrightarrows N, L, \eta) \rightarrow (\mathcal{G} \rightrightarrows M, \omega, \Phi)$$

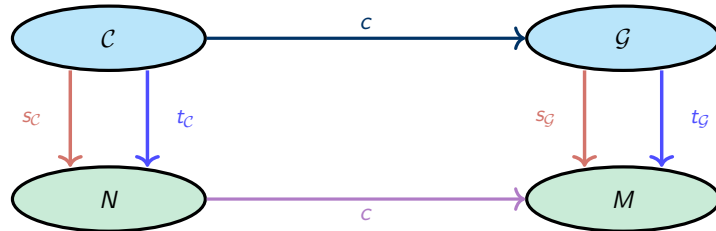
Structure de Poisson sur $c : (\mathcal{C} \rightrightarrows N, L, \eta) \rightarrow (\mathcal{G} \rightrightarrows M, \omega, \phi)$



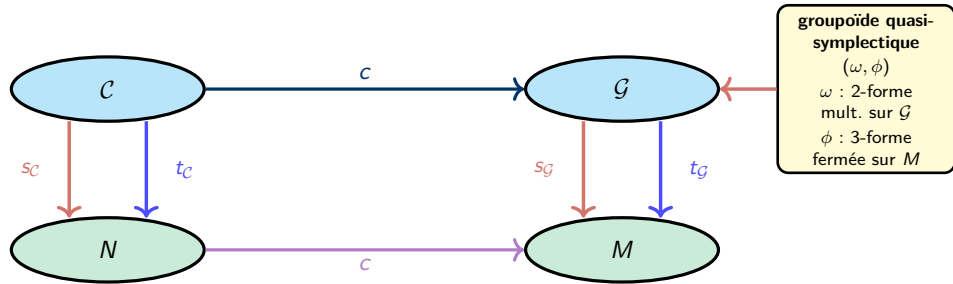
Structure de Poisson sur $c : (\mathcal{C} \rightrightarrows N, L, \eta) \rightarrow (\mathcal{G} \rightrightarrows M, \omega, \phi)$



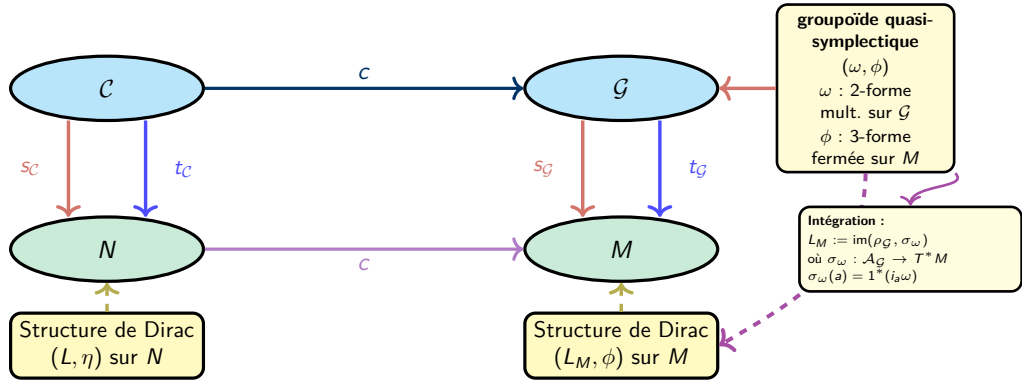
Structure de Poisson sur $c : (\mathcal{C} \rightrightarrows N, L, \eta) \rightarrow (\mathcal{G} \rightrightarrows M, \omega, \phi)$



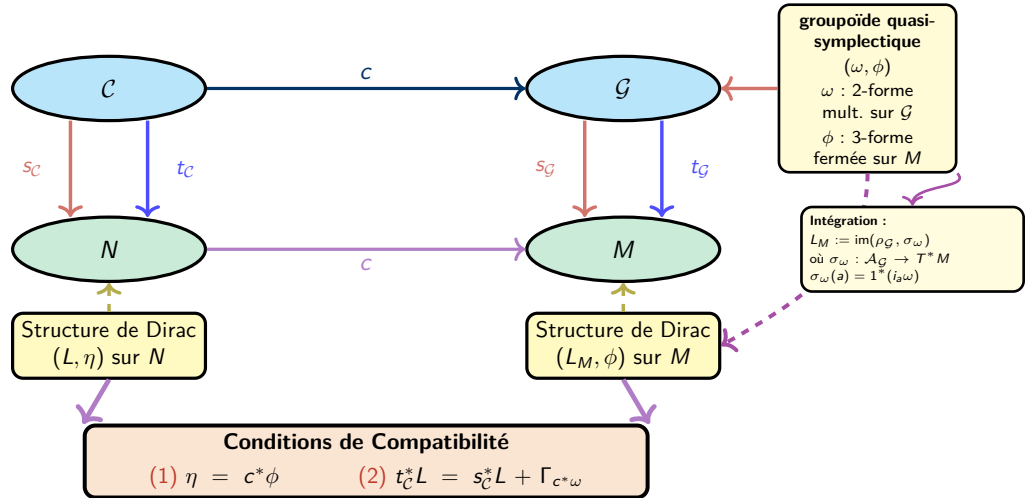
Structure de Poisson sur $c : (\mathcal{C} \rightrightarrows N, L, \eta) \rightarrow (\mathcal{G} \rightrightarrows M, \omega, \phi)$



Structure de Poisson sur $c : (\mathcal{C} \rightrightarrows N, L, \eta) \rightarrow (\mathcal{G} \rightrightarrows M, \omega, \phi)$



Structure de Poisson sur $c : (\mathcal{C} \rightrightarrows N, L, \eta) \rightarrow (\mathcal{G} \rightrightarrows M, \omega, \phi)$



Non-dégénérescence : L'application

$$(\rho_{\mathcal{C}}, c^* \sigma_{\omega} c_*, c_*) : A_{\mathcal{C}} \longrightarrow L \times_c A_{\mathcal{G}}$$

est surjective, où

$$L \times_c A_{\mathcal{G}} := \{((v, \alpha), a) \in L \oplus c^* A_{\mathcal{G}} \mid c_* v = \rho a, \alpha = c^* \sigma_{\omega} a\}.$$

$$\sigma_{\omega} : A_{\mathcal{G}} \rightarrow T^* M, \sigma_{\omega} a := 1^*(i_a \omega)$$

Coisotrope Classique

vs

Coisotrope 1-Décalée

Classique VS 1-Décalé

Groupoïde symplectique $(\mathcal{G} \rightrightarrows M, \omega)$ intégrant (M, π)
Sous-variété coisotrope $\mathcal{C} \subset M$

Classique VS 1-Décalé

Groupoïde symplectique $(\mathcal{G} \rightrightarrows M, \omega)$ intégrant (M, π)
Sous-variété coisotrope $\mathcal{C} \subset M$

Niveau Algébroïde

Algébroïde :

$$A_{\mathcal{G}} \simeq T^*M$$

Niveau Groupoïde

Classique VS 1-Décalé

Groupoïde symplectique $(\mathcal{G} \rightrightarrows M, \omega)$ intégrant (M, π)
Sous-variété coisotrope $\mathcal{C} \subset M$

Niveau Algébroïde

Algébroïde :
 $A_{\mathcal{G}} \simeq T^*M$

Sous-algébroïde :
 $(T\mathcal{C})^\circ$

Niveau Groupoïde

Groupoïde :
 $\mathcal{G} \rightrightarrows M$

Sous-groupoïde :
 $\mathcal{C} \hookrightarrow \mathcal{G}$



Classique VS 1-Décalé

Groupoïde symplectique $(\mathcal{G} \rightrightarrows M, \omega)$ intégrant (M, π)
Sous-variété coisotrope $\mathcal{C} \subset M$

Niveau Algébroïde

Algébroïde :
 $A_{\mathcal{G}} \simeq T^*M$

Sous-algébroïde :
 $(T\mathcal{C})^\circ$

Niveau Groupoïde

Groupoïde :
 $\mathcal{G} \rightrightarrows M$

Sous-groupoïde :
 $\mathcal{C} \hookrightarrow \mathcal{G}$

Intégration



Classique VS 1-Décalé

Groupoïde symplectique $(\mathcal{G} \rightrightarrows M, \omega)$ intégrant (M, π)
Sous-variété coisotrope $\mathcal{C} \subset M$

Niveau Algébroïde

Algébroïde :
 $A_{\mathcal{G}} \simeq T^*M$

Sous-algébroïde :
 $(T\mathcal{C})^\circ$

Niveau Groupoïde

Groupoïde :
 $\mathcal{G} \rightrightarrows M$

Sous-groupoïde :
 $\mathcal{C} \hookrightarrow \mathcal{G}$

Intégration

Passage au 1-décalé :
Structure Lagrangienne 1-décalée sur $\mathcal{C} \rightarrow \mathcal{G}$

Classique VS 1-Décalé

Groupoïde symplectique $(\mathcal{G} \rightrightarrows M, \omega)$ intégrant (M, π)
Sous-variété coisotrope $\mathcal{C} \subset M$

Niveau Algébroïde

Algébroïde :
 $A_{\mathcal{G}} \simeq T^*M$

Sous-algébroïde :
 $(T\mathcal{C})^\circ$

Niveau Groupoïde

Groupoïde :
 $\mathcal{G} \rightrightarrows M$

Sous-groupoïde :
 $\mathcal{C} \hookrightarrow \mathcal{G}$

Intégration

Passage au 1-décalé :
Structure Lagrangienne 1-décalée sur $\mathcal{C} \rightarrow \mathcal{G}$

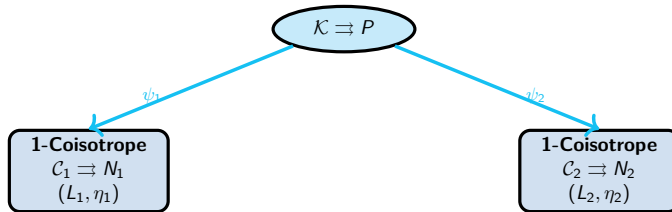
Condition de non-dégénérescence :
 $(T\mathcal{C})^\circ \xrightarrow{\sim} \{(v, \xi) \in T\mathcal{C} \times T^*M : v = \pi(\xi), \xi|_{T\mathcal{C}} = 0\}$

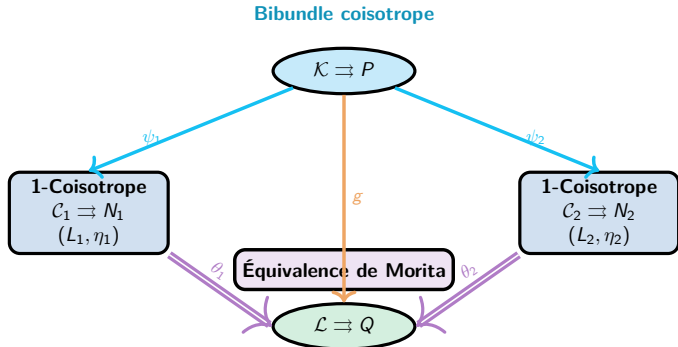
*L'Équivalence de Morita entre
1-Coisotropes Décalées
Induit-elle un Isomorphisme
d'Algèbres de Poisson ?*

Bibundle coisotrope

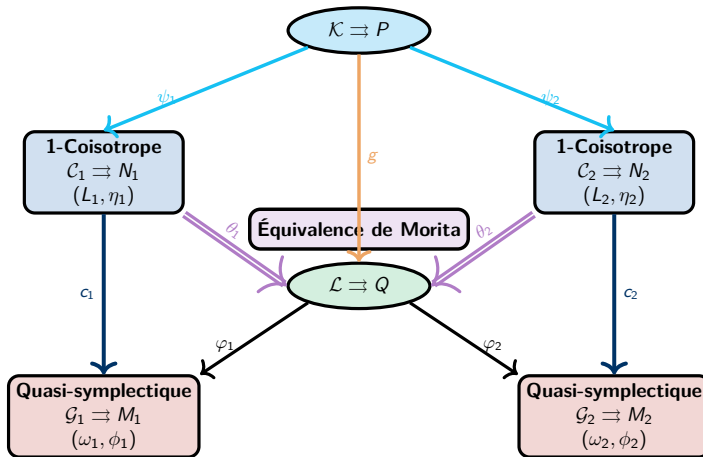
$$\mathcal{K} \rightrightarrows P$$

Bibundle coisotrope

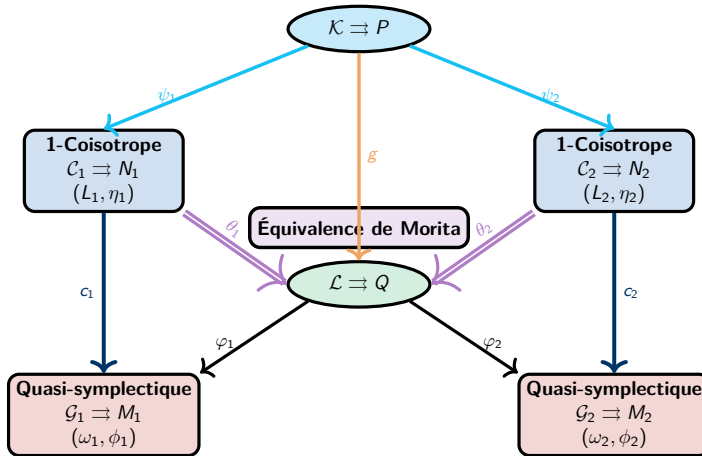




Bibundle coisotrope



Bibundle coisotrope



Compatibilité coisotrope :

$$\psi_2^* L_2 = \psi_1^* L_1 + \Gamma_\delta$$

$$\text{où } \delta = -g^* \gamma + \theta_1^* \omega_1 - \theta_2^* \omega_2$$

Prochaine étape :

*Structure P_∞ -Algèbre
sur 1-coisotrope décalé*

Définition : P_∞ -algèbre

P_∞ -ALGÈBRE

Définition : P_∞ -algèbre

P_∞ -ALGÈBRE

Algèbre graduée commutative

$$A = \bigoplus_{n \in \mathbb{Z}} A^n \text{ sur } k$$

Définition : P_∞ -algèbre

P_∞ -ALGÈBRE

Algèbre graduée commutative

$$A = \bigoplus_{n \in \mathbb{Z}} A^n \text{ sur } k$$

Opérations : $\lambda_n : A^{\otimes n} \rightarrow A$

$$\text{degré : } \deg(\lambda_n) = 2 - n$$

Définition : P_∞ -algèbre

P_∞ -ALGÈBRE

Algèbre graduée commutative

$$A = \bigoplus_{n \in \mathbb{Z}} A^n \text{ sur } k$$

Opérations : $\lambda_n : A^{\otimes n} \rightarrow A$

$$\text{degré : } \deg(\lambda_n) = 2 - n$$

(I) Antisymétrie

$$\begin{aligned} & \lambda_n(\dots, a_i, a_{i+1}, \dots) \\ &= -(-1)^{|a_i||a_{i+1}|} \\ & \quad \lambda_n(\dots, a_{i+1}, a_i, \dots) \end{aligned}$$

Définition : P_∞ -algèbre

P_∞ -ALGÈBRE

Algèbre graduée commutative

$$A = \bigoplus_{n \in \mathbb{Z}} A^n \text{ sur } k$$

Opérations : $\lambda_n : A^{\otimes n} \rightarrow A$

$$\text{degré : } \deg(\lambda_n) = 2 - n$$

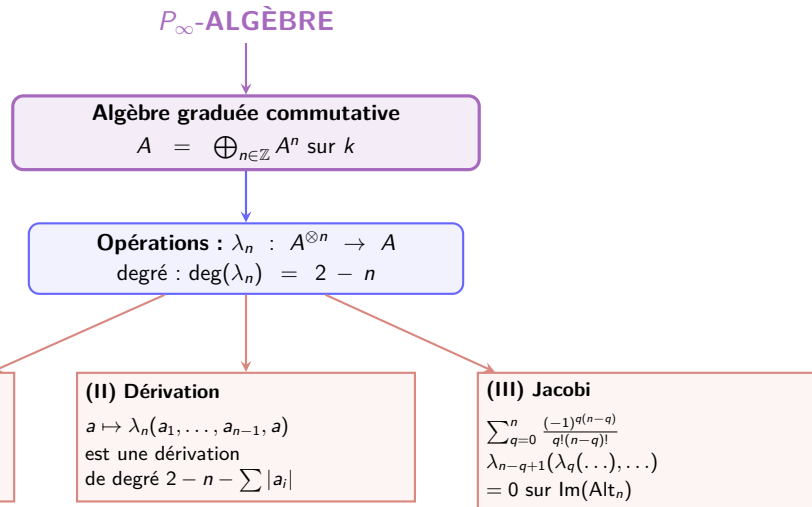
(I) Antisymétrie

$$\begin{aligned} \lambda_n(\dots, a_i, a_{i+1}, \dots) \\ = -(-1)^{|a_i||a_{i+1}|} \\ \lambda_n(\dots, a_{i+1}, a_i, \dots) \end{aligned}$$

(II) Dérivation

$$\begin{aligned} a \mapsto \lambda_n(a_1, \dots, a_{n-1}, a) \\ \text{est une dérivation} \\ \text{de degré } 2 - n - \sum |a_i| \end{aligned}$$

Définition : P_∞ -algèbre



Construction de Cattaneo-Felder

$$\cdots \longrightarrow \Gamma(C, \wedge^j NC) \xrightarrow{\delta} \Gamma(C, \wedge^{j+1} NC) \longrightarrow \cdots$$

Différentielle δ :

Degré 0 : $\delta f = \pi^\sharp(d\tilde{f}) \bmod TC$ δ est

déterminé sur le complexe par

$$\delta(\alpha \wedge \beta) = \delta\alpha \wedge \beta + (-1)^{|\alpha|} \alpha \wedge \delta\beta$$

Cohomologie $H_\pi(N^*C) := \bigoplus_k H_\pi^k(N^*C)$:
Propriétés :

- Algèbre graduée commutative
- $H_\pi^0(N^*C) = C^\infty(\underline{C})$

Problème : Comment quantifier $H_\pi(N^*C)$
(ou au moins $H_\pi^0(N^*C) = C^\infty(\underline{C})$)?

(\underline{C} = espace réduit, possiblement singulier)

Trouver un produit star sur $H_\pi(N^*C)[[\varepsilon]]$
déformant le produit commutatif gradué et tel que $\frac{1}{\varepsilon}(a \star b - (-1)^{|a||b|}b \star a)$
soit le crochet de Poisson modulo ε .

Problème : Comment quantifier $H_\pi(N^* C)$
(ou au moins $H_\pi^0(N^* C) = C^\infty(\underline{C})$)?

(\underline{C} = espace réduit, possiblement singulier)

Trouver un produit star sur $H_\pi(N^* C)[[\varepsilon]]$
déformant le produit commutatif gradué et tel que $\frac{1}{\varepsilon}(a \star b - (-1)^{|a||b|} b \star a)$
soit le crochet de Poisson modulo ε .

Idée clé : Quantifier le
 P_∞ -algèbre $\Gamma(C, \wedge NC)$

(cohomologie de l'algébroïde de Lie)

Problème : Comment quantifier $H_\pi(N^*C)$
(ou au moins $H_\pi^0(N^*C) = C^\infty(\underline{C})$)?

(\underline{C} = espace réduit, possiblement singulier)

Trouver un produit star sur $H_\pi(N^*C)[[\varepsilon]]$
déformant le produit commutatif gradué et tel que $\frac{1}{\varepsilon}(a \star b - (-1)^{|a||b|}b \star a)$
soit le crochet de Poisson modulo ε .

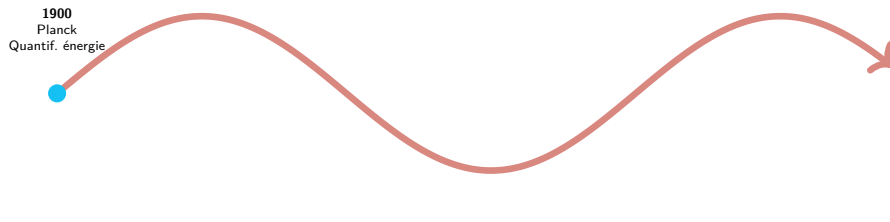
Idée clé : Quantifier le
 P_∞ -algèbre $\Gamma(C, \wedge NC)$

(cohomologie de l'algébroïde de Lie)

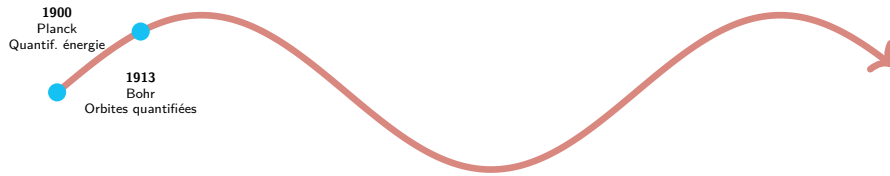
Théorème de formalité relative :

Structure A_∞ sur $\Gamma(C, \wedge NC)[[\varepsilon]]$
(quantification par déformation)

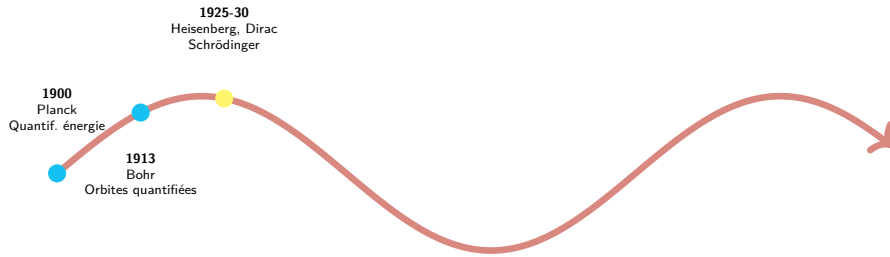
Vers la Quantification des 1-Coisotropes Décalés



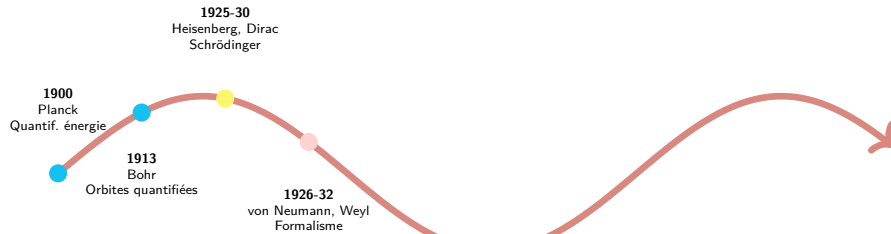
Vers la Quantification des 1-Coisotropes Décalés



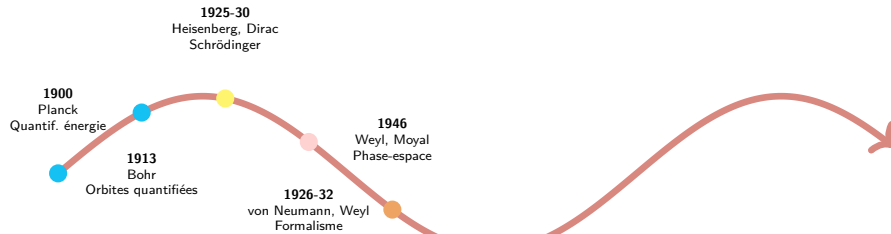
Vers la Quantification des 1-Coisotropes Décalés



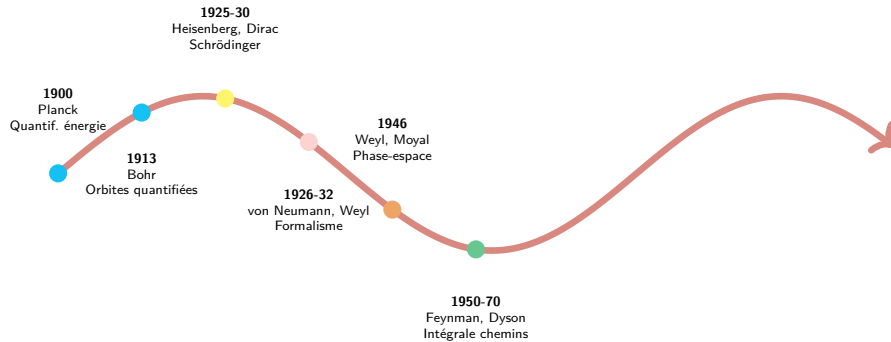
Vers la Quantification des 1-Coisotropes Décalés



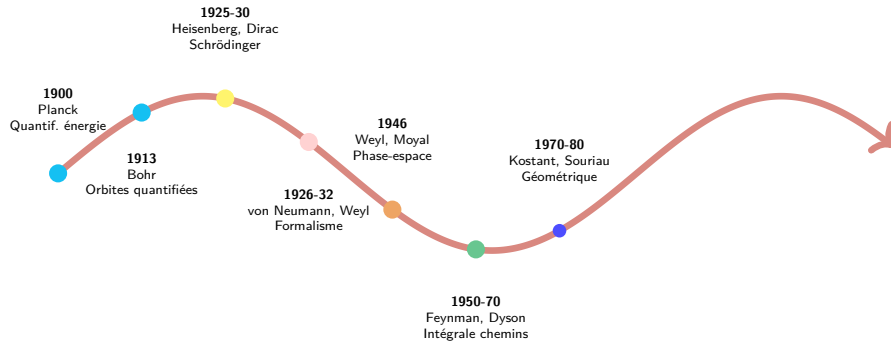
Vers la Quantification des 1-Coisotropes Décalés



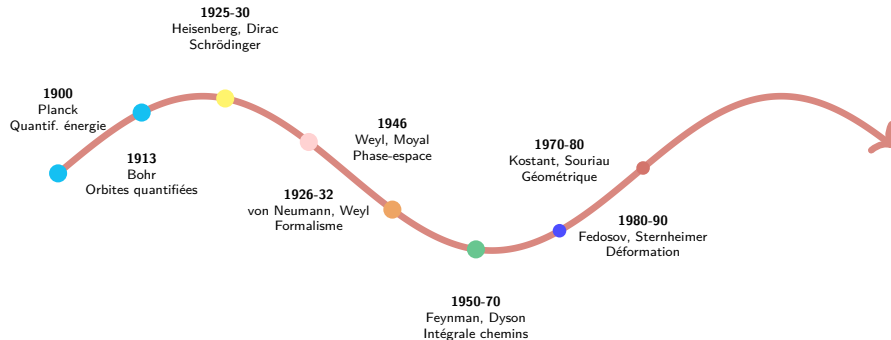
Vers la Quantification des 1-Coisotropes Décalés



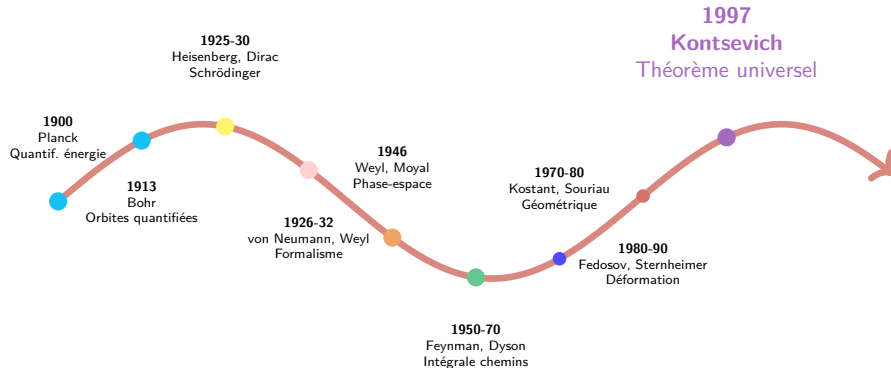
Vers la Quantification des 1-Coisotropes Décalés



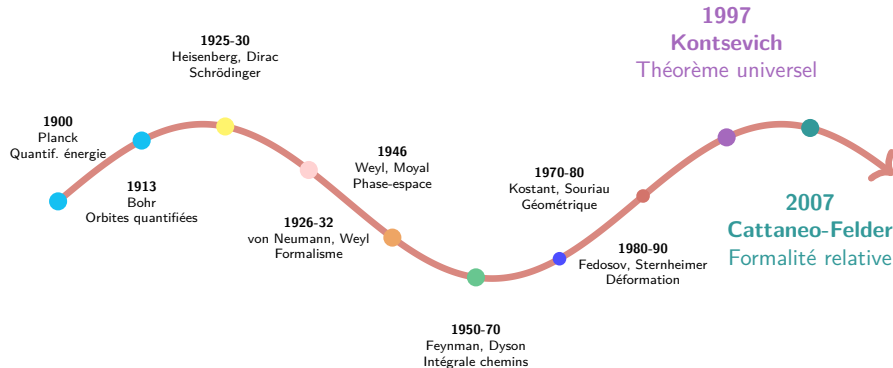
Vers la Quantification des 1-Coisotropes Décalés



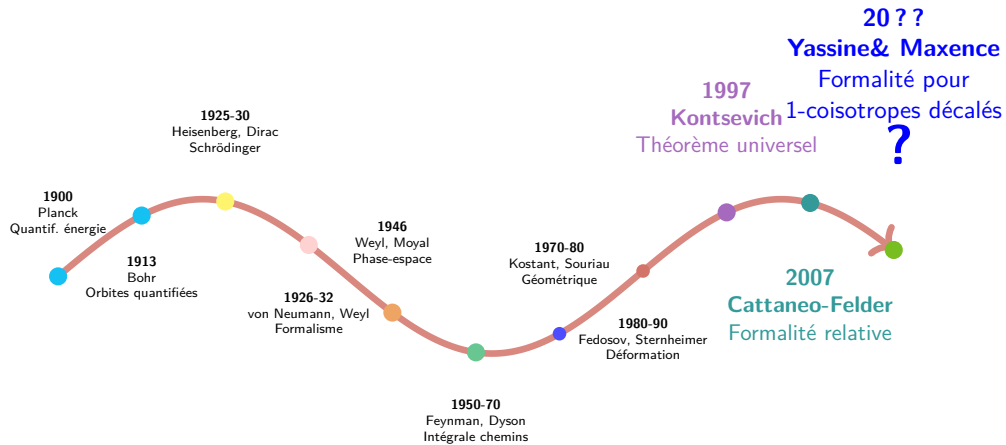
Vers la Quantification des 1-Coisotropes Décalés



Vers la Quantification des 1-Coisotropes Décalés



Vers la Quantification des 1-Coisotropes Décalés



Merci pour votre attention